

СОДЕРЖАНИЕ

Введение.....	15
---------------	----

Предисловие	16
Благодарность	17
Об авторе.....	17
О книге.....	18

1 Фундаментальные понятия магнетизма	19
1.1. Введение	20
1.2. Магнитные свойства в свободном пространстве.....	20
1.3. Усиление магнитного поля.....	21
1.4. Простейший трансформатор.....	24
1.5. Магнитный сердечник	24
1.6. Фундаментальные характеристики магнитного сердечника	26
1.7. Зависимость $B(H)$ при повторном перемагничивании сердечника.....	28
1.8. Магнитная проницаемость.....	28
1.9. Магнитодвижущая сила (МДС) и намагничивающая сила (H).....	32
1.10. Магнитное сопротивление.....	34
1.11. Воздушный зазор.....	35
1.12. Управление величиной постоянного магнитного потока с помощью воздушного зазора.....	38
1.13. Типы воздушных зазоров	39
1.14. Краевой магнитный поток	40
1.15. Магнитная проницаемость материала.....	41
1.16. Воздушные зазоры	42
1.17. Краевой магнитный поток, фактор F	42
1.18. Расчёт длины зазора в дросселе постоянного тока	43
1.19. Краевой магнитный поток и способ намотки катушки	45
1.20. Краевой магнитный поток в уплотнённой среде	45
1.21. Краевой магнитный поток в порошковых сердечниках	46

2 Магнитные материалы и их характеристики	48
2.1. Введение	49
2.2. Насыщение.....	49
2.3. Остаточная индукция B_r и коэрцитивная сила H_c	50
2.4. Магнитная проницаемость μ	50
2.5. Потери на гистерезис, сопротивление потерь ρ в сердечнике	50
2.6. Кремниевая сталь	51
2.7. Тонкая лента из никелевого сплава.....	51
2.8. Металлическое стекло	55

2.9. Магнито-мягкие ферриты	59
2.10. Марганец-цинковые ферриты	61
2.11. Никель-цинковые ферриты	61
2.12. Ферриты: обзор	62
2.13. Порошковые сердечники из молибденового пермаллоя	63
2.14. Железные порошковые сердечники	64
2.15. Потери в сердечнике	70
2.16. Уравнения для потерь в сердечнике	71
2.17. Отбор магнитных материалов	74
2.18. Несимметричное намагничивание	74
2.19. Характеристики материала	75
2.20. Уточнение границ области насыщения магнитного материала	77
2.21. Условия и результаты измерений	80
2.22. Теория насыщения магнитного материала	84
2.23. Влияние воздушного зазора	85
2.24. Эффект введения зазора	86
2.25. Составной сердечник	93
2.26. Заключение	96

3 Магнитные сердечники	98
3.1. Введение	99
3.2. Типы и конструкции сердечников	100
3.3. Типы материалов сердечника	101
3.4. Вихревые токи и изоляция	101
3.5. Стальные пластины	102
3.6. Отжиг и снятие стресса	104
3.7. Сборка пакета пластин и их взаимная ориентация	104
3.8. Уплотнение потока	105
3.9. Ток возбуждения	106
3.10. Ленточные С-, ЕЕ- и тороидальные сердечники	107
3.11. Ленточные тороидальные сердечники	109
3.12. Порошковый тороидальный сердечник	109
3.13. Коэффициент заполнения сталью	110
3.14. Данные для проектирования сердечников из ЕІ-пластин	111
3.15. Данные для проектирования сердечников из UІ-пластин	112
3.16. Данные для проектирования сердечников из LL-пластин	113
3.17. Данные для проектирования сердечников из DU-пластин	115
3.18. Данные для проектирования трёхфазных трансформаторов на основе стальных пластин	116
3.19. Данные для проектирования ленточных витых С-сердечников	117
3.20. Очертания ленточных намотанных ЕЕ-сердечников	118
3.21. Параметры ленточных витых тороидальных сердечников	119
3.22. Параметры ЕЕ-сердечников из феррита	121
3.23. Параметры планарных ферритовых ЕЕ- и ЕІ-сердечников	122

3.24. Параметры ферритовых ЕС-сердечников	123
3.25. Параметры ферритовых ЕТD-сердечников.....	124
3.26. Параметры ферритовых ЕТD-сердечников.....	125
3.27. Параметры ферритовых ЕR-сердечников	126
3.28. Параметры ферритовых ЕFD-сердечников	127
3.29. Параметры ферритовых ЕРС-сердечников	128
3.30. Параметры ферритовых РС-сердечников	129
3.31. Параметры ферритовых ЕР-сердечников	130
3.32. Параметры ферритовых RQ-сердечников.....	131
3.33. Параметры низкопрофильных ферритовых RQ-сердечников.....	133
3.34. Параметры ферритовых RМ-сердечников.....	134
3.35. Параметры низкопрофильных ферритовых RМ-сердечников.....	135
3.36. Параметры ферритовых DS-сердечников	136
3.37. Параметры ферритовых UUR-сердечников.....	137
3.38. Параметры ферритовых UUS-сердечников	138
3.39. Параметры тороидальных ферритовых сердечников.....	139
3.40. Параметры тороидальных порошковых МРР-сердечников.....	140
3.41. Параметры порошковых железных тороидальных сердечников	142
3.42. Параметры тороидальных сендастовых порошковых сердечников.....	143
3.43. Параметры тороидальных порошковых сердечников High Flux	145
3.44. Параметры железных порошковых ЕЕ-сердечников	146
3.45. Параметры сендастовых порошковых ЕЕ-сердечников.....	148

4 Использование окна сердечника, обмоточный провод и изоляция	149
4.1. Коэффициент заполнения окна.....	150
4.2. Изоляция провода, S_1	151
4.3. Коэффициент заполнения обмоткой.....	152
4.4. Эффективная площадь окна.....	155
4.5. Коэффициент влияния изоляции.....	157
4.6. Заключение.....	158
4.7. Коэффициент заполнения окна для ферритовых сердечников с катушкой	159
4.8. Провод круглого и квадратного сечения с диаметром и стороной 0.0254 мм	161
4.9. Обмоточный провод	161
4.10. Плёночная изоляция обмоточного провода	162
4.11. Таблица проводов.....	163
4.12. Изоляция, которую можно паять	166
4.13. Укреплённый обмоточный провод.....	167
4.14. Базовая плёночная изоляция.....	167
4.15. Методы нанесения укрепляющего покрытия	168
4.16. Миниатюрный обмоточный провод прямоугольного сечения	168
4.17. Многожильный провод и поверхностный эффект.....	169
4.18. Уменьшение скин-эффекта в трансформаторах.....	170

4.19. Расчёт скин-эффекта в дросселе постоянного тока	171
4.20. Многожильный провод типа литцендрат	174
4.21. Эффект близости.....	175
4.22. Эффект близости в трансформаторах.....	176
4.23. Высокочастотные трансформаторы с многослойными обмотками.....	176
4.24. Анализ эффекта близости при помощи кривых Доула	179
4.25. Специальные провода.....	180
4.26. Провод с тройной изоляцией.....	181
4.27. Литцендрат с тройной изоляцией	182
4.28. Многожильный обмоточный провод	182
4.29. Стандартная фольга	183
4.30. Использование фольги.....	184
4.31. Расчёт средней длины витка	187
4.32. Расчёт средней длины витка тороидального сердечника.....	188
4.33. Расчёт сопротивления меди обмотки.....	188
4.34. Расчёт веса меди	188
4.35. Электрический изоляционный материал	189
4.36. Источники	189

5 Этапы проектирования трансформатора	190
5.1. Введение	191
5.2. Общие проблемы проектирования.....	191
5.3. Способность передавать мощность	192
5.4. Взаимосвязь A_p и способности сердечника передавать мощность	193
5.5. Взаимосвязь K_g с диапазоном регулирования нагрузки и способностью передавать мощность	193
5.6. Произведение площадей трансформатора A_p	194
5.7. Объём трансформатора и произведение площадей A_p	194
5.8. Вес трансформатора и произведение площадей A_p	197
5.9. Площадь поверхности трансформатора в зависимости от произведения площадей A_p	198
5.10. Плотность тока трансформатора J и произведение площадей сердечника A_p	202
5.11. Геометрия сердечника трансформатора и произведение площадей сердечника	204
5.12. Вес трансформатора в зависимости от диапазона регулирования нагрузки.....	206
5.13. Источники	208

6 Эффективность трансформаторов и дросселей, влияние изменения нагрузки и температуры.....	209
6.1. Введение	210
6.2. Эффективность трансформатора.....	210

6.3. Максимальная эффективность.....	210
6.4. Рассеивание мощности трансформатором посредством радиации и конвекции.....	212
6.5. Рост температуры в зависимости от площади рассеивающей поверхности A_c	213
6.6. Площадь поверхности, необходимая для рассеивания выделяющегося тепла.....	214
6.7. Требуемая площадь поверхности A_c	215
6.8. Зависимость напряжения от нагрузки	216
6.9. Источники.....	218

7 Проектирование силового трансформатора	219
7.1. Введение	220
7.2. Общие проблемы проектирования.....	220
7.3. Способность передавать мощность.....	221
7.4. Связь выходной мощности P_o и расчётной мощности P_t	222
7.5. Многообмоточные трансформаторы	224
7.6. Зависимость напряжения от нагрузки.....	226
7.7. Взаимосвязь K_g и способности трансформатора поддерживать стабильное напряжение на выходе при изменении нагрузки	227
7.8. Взаимосвязь A_p и способности трансформатора передавать мощность.....	228
7.9. Сердечники с одинаковым произведением площадей	229
7.10. Проектирование 250 Вт изолирующего трансформатора с использованием коэффициента, характеризующего геометрию сердечника K_g	230
7.11. Проектирование трансформатора на 38 Вт и 100 кГц с использованием коэффициента K_g , характеризующего геометрию сердечника	234

8 Проектирование дросселей постоянного тока с зазором в магнитопроводе	243
8.1. Введение	244
8.2. Критическая индуктивность для дросселя выпрямителя синусоидального напряжения	244
8.3. Критическая индуктивность дросселя для регулятора напряжения понижающего типа	245
8.4. Материалы сердечников, используемых в преобразователях с широтно-импульсным регулированием.....	248
8.5. Основополагающие положения	249
8.6. Краевой поток.....	251
8.7. Дроссели	252
8.8. Связь произведения площадей сердечника и способности дросселя передавать энергию	253

8.9. Связь коэффициента геометрии K_g и способности дросселя передавать энергию	253
8.10. Пример проектирования дросселя с зазором с использованием коэффициента геометрии сердечника K_g	254
8.11. Пример проектирования дросселя с зазором с использованием метода произведения площадей сердечника A_p	259

9 Проектирование дросселей постоянного тока с порошковыми сердечниками	265
9.1. Введение	266
9.2. Порошковые сердечники из молибденового пермаллоя (МРР)	266
9.3. Порошковые сердечники типа High Flux (HF)	266
9.4. Сендастовые порошковые сердечники (Magnetics Kool Mμ)	267
9.5. Железные порошковые сердечники	267
9.6. Дроссели	268
9.7. Отношение произведения площадей A_p к способности дросселя передавать энергию	268
9.8. Отношение коэффициента геометрии K_g к способности дросселя передавать энергию	269
9.9. Фундаментальные положения	270
9.10. Проектирование тороидального порошкового сердечника с использованием коэффициента геометрии K_g	272
9.11. Проектирование тороидального порошкового сердечника с использованием произведения площадей A_p	277

10 Проектирование дросселей переменного тока	282
10.1. Введение	283
10.2. Требования	283
10.3. Связь произведения площадей A_p сердечника с вольт-амперами дросселя	283
10.4. Связь коэффициента геометрии K_g с вольт-амперами дросселя	284
10.5. Фундаментальные соотношения	284
10.6. Краевой поток	285
10.7. Пример проектирования дросселя переменного тока	288
10.8. Источники	292

11 Трансформаторные стабилизаторы переменного напряжения	293
11.1. Введение	294
11.2. Регулировочные характеристики	294
11.3. Электрические параметры	294
11.4. Уравнения для проектирования	296
11.5. Пример проектирования	299

11.6. Пример проектирования дросселя переменного тока.....	304
11.7. Источники	307

12 Проектирование трёхфазного трансформатора	308
12.1. Введение	309
12.2. Основные схемы соединения обмоток трансформатора	309
12.3. Сравнение физических размеров трансформаторов.....	309
12.4. Фазный и линейный ток в треугольнике	311
12.5. Фазное, линейное напряжение и ток в схеме трёхфазной звезды.....	312
12.6. Сравнение мощностей в однофазной и многофазной системах	312
12.7. Многофазные выпрямительные схемы.....	313
12.8. Произведение площадей A_p и коэффициент геометрии K_g для трёхфазных трансформаторов	316
12.9. Связь выходной и расчётной мощности.....	317
12.10. Связь коэффициента геометрии с зависимостью выходного напряжения силового трансформатора от нагрузки.....	318
12.11. Связь произведения площадей сердечника A_p со способностью трансформатора передавать мощность	319
12.12. Пример проектирования трёхфазного трансформатора	319

13 Проектирование трансформатора обратного преобразователя напряжения.....	324
13.1. Введение	325
13.2. Передача энергии.....	325
13.3. Режим разрывного тока.....	326
13.4. Режим непрерывного тока.....	326
13.5. Граничный режим тока дросселя	327
13.6. Понижающий регулятор напряжения.....	327
13.7. Повышающий преобразователь напряжения	330
13.8. Инвертирующий повышающе-понижающий преобразователь.....	333
13.9. Повышающе-понижающий преобразователь с трансформаторным выходом.....	335
13.10. Поверхностный эффект	339
13.11. Пример расчёта повышающего преобразователя, работающего в режиме разрывного тока	346
13.12. Поверхностный эффект	347
13.13. Проектирование дросселя для повышающего корректора коэффициента мощности.....	352
13.14. Стандартная схема повышающего преобразователя	353
13.15. Корректор коэффициента мощности на основе повышающего преобразователя.....	353

13.16. Пример проектирования дросселя с непрерывным током для ККМ на основе повышающего преобразователя	354
13.17. Поверхностный эффект	355
13.18. Источники.....	359

14 Проектирование трансформатора и выходного дросселя прямоходового преобразователя	360
14.1. Введение	361
14.2. Описание работы схемы.....	361
14.3. Сравнение траекторий перемагничивания сердечника в координатах $B-H$	362
14.4. Проектирование трансформатора с использованием коэффициента геометрии K_g	365
14.5. Расчёт дросселя фильтра прямоходового преобразователя	370
14.6. Проектирование выходного дросселя с использованием коэффициента геометрии K_g	372

15 Проектирование входного фильтра	378
15.1. Введение	379
15.2. Конденсатор.....	379
15.3. Дроссель.....	380
15.4. Осцилляция.....	381
15.5. Подключение первичного источника мощности.....	382
15.6. Резонансный заряд.....	383
15.7. Процедура проектирования дросселя входного фильтра.....	385
15.8. Данные для проектирования входного фильтра.....	386
15.9. Источники.....	389

16 Проектирование трансформатора тока.....	390
16.1. Введение	391
16.2. Анализ составляющих входного тока.....	391
16.3. Уникальность трансформатора тока	393
16.4. Примеры схем, использующих трансформатор тока	394
16.5. Пример проектирования трансформатора тока.....	396
16.6. Результаты проектирования	398

17 Ёмкость обмотки и индуктивность рассеивания	400
17.1. Введение	401
17.2. Паразитные эффекты	401
17.3. Поток рассеивания	402
17.4. Минимизация индуктивности рассеивания	405

17.5. Ёмкость обмотки.....	406
17.6. Межвитковая ёмкость обмотки.....	408
17.7. Межслойная ёмкость обмотки трансформатора.....	408
17.8. Межобмоточная ёмкость.....	409
17.9. Паразитная ёмкость.....	410
17.10. Источники.....	411

18 Проектирование малозащумящего преобразователя	412
18.1. Введение	413
18.2. Преобразователь напряжения.....	413
18.3. Регулирование и фильтрация.....	414
18.4. Преобразователь тока.....	415
18.5. Малозащумящий преобразователь	415
18.6. Регулирование и фильтрация.....	416
18.7. Временные диаграммы токов и напряжений малозащумящего преобразователя	416
18.8. Технология на марше.....	419
18.9. Коэффициент использования окна.....	419
18.10. Температурная стабильность	420
18.11. Определение расчётной мощности	420
18.12. Расчётные соотношения малозащумящего преобразователя.....	421
18.13. Проектирование трансформатора на основе рассчитанного коэффициента геометрии K_g	425
18.14. Обзор результатов проектирования	429
18.15. Источники.....	432

19 Проектирование роторного трансформатора	434
19.1. Введение	435
19.2. Базовая конструкция роторного трансформатора.....	435
19.3. Особенности работы с кривой напряжения прямоугольной формы.....	436
19.4. Индуктивность рассеивания роторного трансформатора.....	437
19.5. Двухтактный резонансный преобразователь тока.....	439
19.6. Трудности при проектировании роторного трансформатора	440
19.7. Источники.....	442

20 Планарные трансформаторы	443
20.1. Введение	444
20.2. Базовая конструкция планарного трансформатора	444
20.3. Планарные интегральные магнетики с печатными обмотками	446
20.4. Геометрия сердечника	447
20.5. Уравнения для проектирования планарного трансформатора и дросселя.....	448

20.6. Коэффициент использования окна сердечника.....	449
20.7. Плотность тока J	450
20.8. Печатные обмотки.....	453
20.9. Расчёт средней длины витка.....	454
20.10. Сопротивление обмотки и рассеиваемая мощность.....	454
20.11. Ёмкость печатной обмотки.....	455
20.12. Проектирование планарного дросселя.....	456
20.13. Внешний вывод обмотки.....	457
20.14. Базовые материалы для печатных плат.....	458
20.15. Сборка и монтаж сердечника.....	459
20.16. Источники.....	460

21 Истоки уравнений проектирования.....	461
21.1. Связь выходной мощности P_o с расчётной мощностью P_t	462
21.2. Проектирование трансформатора на основе коэффициента геометрии K_g	463
21.3. Проектирование трансформатора на основе произведения площадей сердечника A_p	466
21.4. Проектирование дросселя на основе коэффициента геометрии сердечника K_g	467
21.5. Проектирование дросселя на основе произведения площадей сердечника.....	470
21.6. Зависимость выходного напряжения трансформатора от нагрузки.....	473

ВВЕДЕНИЕ

Вильям Маклиман (Mc Luman) – известный автор, лектор и разработчик магнитных устройств. Его предыдущие книги, посвящённые проектированию трансформаторов и дросселей, характеристикам магнитных сердечников, методам проектирования преобразовательных схем, широко используются разработчиками. В этой книге автор собрал и обработал содержащуюся в них информацию, а также добавил разделы, посвящённые роторному трансформатору, проектированию планарного трансформатора и планарной конструкции. Автор связал все вопросы проектирования магнитных устройств соответствующими расчётными соотношениями наряду с полной информацией о свойствах магнитных материалов и характеристиках сердечников. В дополнение ко всему, рассмотрен шаг за шагом процесс проектирования.

Эта книга полезна в первую очередь инженерам – проектировщикам магнитных устройств. Если Ваша цель – проектирование первоклассных изделий низкой стоимости – эта книга для Вас. Спасибо, Маклиман, за хорошо сделанную полезную книгу.

Роберт Дж. Ноач

ПРЕДИСЛОВИЕ

Ко мне поступило много обращений с просьбой издать справочную книгу по проектированию трансформаторов и дросселей в связи с тенденциями развития силовой электроники за последние несколько лет. Это издание содержит 21 главу, среди которых есть абсолютно новые: «Прямоходовой преобразователь», «Обратноходовой преобразователь», «Малошумящий преобразователь», «Роторные трансформаторы» и «Планарные трансформаторы». Рассмотрено много примеров проектирования.

Эта книга предлагает инженерам, работающим в электронной и аэрокосмической отраслях промышленности, пути практических решений с примерами проектирования. Трансформаторы можно найти во всех электронных системах. Эта книга может быть использована при ручном проектировании малогабаритных высокочастотных и низкочастотных трансформаторов для коммерческого и специального использования.

Процесс преобразования энергии в устройствах силовой электроники требует использования трансформаторов, которые часто являются наиболее габаритными и тяжёлыми элементами всего устройства. Трансформаторы также оказывают существенное влияние на весь процесс преобразования и его эффективность, а так же определяют вес и цену устройства. В связи с сильной взаимозависимостью этих показателей необходима оптимизация процесса проектирования.

Производители в течение многих лет вырабатывали специальный код, характеризующий способность сердечников передавать мощность. Для каждого сердечника указывается коэффициент A_p равный произведению площадей окна сердечника W_a и площади поперечного сечения среднего стержня A_c . Эти данные используются для суммирования размеров и электрических характеристик.

Произведение площадей A_p измеряется в см^4 . Я ввёл в практику новый коэффициент, характеризующий способность сердечника передавать мощность, – это коэффициент геометрии K_g , измеряемый в см^5 . Этот коэффициент позволяет инженеру более жёстко контролировать процесс проектирования. Это относительно новая концепция и производители сердечников начинают включать коэффициент в свои каталоги.

Ввиду своей значительности коэффициенты K_g и A_p интенсивно используются в этой книге. Разработчику также предоставляется значительное количество другой информации; многие данные сведены в таблицы, что позволяет быстрее достичь желаемого результата.

Инженеры используют разные подходы к процессу проектирования. Часто используются чисто эмпирические соотношения. Так, например, плотность тока не рассчитывается, а принимается равной 200 А/см^2 . Это во многих случаях допустимо, но часто при такой плотности тока трансформатор получается неоправданно большим и тяжёлым. Информация, содержащаяся в этой книге, позволяет избежать использования этого и других чисто эмпирических соотношений. Материал организован так, что инженер или техник от начала и до конца книги получают понятие об искусстве проектирования трансформатора или дросселя.

Автор и издатель не несут никакой ответственности за использование данных, схем или процессов, описанных в этой книге.

Благодарность

В процессе подготовки материала для книги я имел счастье сотрудничать со многими компаниями и коллегами. Всем им я хочу выразить благодарность. Однако некоторым людям и компаниям, чей вклад был особенно значительным, я выразил благодарность поимённо перед каждой главой, в написании которой они принимали участие.

Об авторе

Вильям Маклиман (Mc Luman) недавно ушёл в отставку с должности руководителя секции авиационного оборудования лаборатории реактивного движения (Jet Propulsion Laboratory), которая является филиалом Калифорнийского технологического института в Пасадене. У него 47-летний стаж работы в области магнитных материалов и он является держателем 14 патентов США, связанных с этой областью. За 30 лет работы в JPL им было выпущено более 70 технических меморандумов, отчётов по новой технологии и краткой технической информации, касающейся магнетиков и схемотехнических решений в области силовых преобразователей. Он принимал участие в работах по проектам NASA, включая Pathfinder Mission to Mars, Cassini, Galileo, Magellan, Viking, Voyager, MVM, Hubble Space Telescope и многих других.

Более 20 лет он читал лекции в США, Канаде, Мексике и в Европе по теме проектирования и изготовления магнитных компонентов. В этой области он является признанным авторитетом. Он президент собственной компании Kg Magnetics Inc, которая специализируется в области проектирования магнитных элементов силовой электроники.

Недавно вышла новая книга «Высоконадёжные магнитные приборы. Проектирование и производство» (Marcel Dekker inc). Он является одним из авторов

компьютерной программы «Titan», посвящённой проектированию трансформаторов и дросселей. Программа используется в Windows 95, 98, 2000 и NT.

О книге

Это третье издание существенно пересмотрено и дополнено, чтобы максимально полно представить ситуацию в искусстве проектирования магнетиков. Оно представляет собой практический подход к вопросам проектирования трансформаторов и дросселей. Широко используются понятия произведения площадей сердечника A_p и коэффициент геометрии K_g .

Читателю представляется обширная информация о магнитных материалах и характеристиках сердечников. Рассмотрены примеры проектирования, где шаг за шагом рассчитываются все свойства трансформатора или дросселя.

Книга характеризует все ключевые компоненты для проектирования лёгких, высокочастотных трансформаторов аэрокосмических объектов или низкочастотных коммерческих трансформаторов.

В это издание включены новые разделы, связанные с малошумящим преобразователем, проектированием роторного трансформатора, проектированием планарного трансформатора, включая перечень процедур, имеющих большое значение для инженеров, работающих в электронной и аэрокосмической областях.

Даётся много характеристик материалов в виде таблиц, помогающих быстрее найти удачное проектное решение.

1

Фундаментальные понятия магнетизма

1	Введение	20
2	Магнитные свойства в свободном пространстве	20
3	Усиление магнитного поля	21
4	Простейший трансформатор	24
5	Магнитный сердечник	24
6	Фундаментальные характеристики магнитного сердечника	26
7	Зависимость $B(H)$ при повторном перемагничивании сердечника	28
8	Магнитная проницаемость	28
9	Магнитодвижущая сила (МДС) и намагничивающая сила (H)	32
10	Магнитное сопротивление	34
11	Воздушный зазор	35
12	Управление величиной постоянного магнитного потока с помощью воздушного зазора	38
13	Типы воздушных зазоров	39
14	Краевой магнитный поток	40
15	Магнитная проницаемость материала	41
16	Воздушные зазоры	42
17	Краевой магнитный поток, фактор F	42
18	Расчёт длины зазора в дросселе постоянного тока	43
19	Краевой магнитный поток и способ намотки катушки	45
20	Краевой магнитный поток в уплотнённой среде	45
21	Краевой магнитный поток в порошковых сердечниках	46

1.1. Введение

При анализе свойств магнитного поля встречаются значительные трудности из-за использования большого количества различных систем единиц, как-то СГС (сантиметр–грамм–секунда), МКС (метр–килограмм–секунда) или смешанной английской системы. Можно было бы договориться использовать систему СГС, но всегда есть по крайней мере одно исключение из правила – это магнитная проницаемость.

1.2. Магнитные свойства в свободном пространстве

Длинный провод с текущим по нему постоянным током генерирует круговое магнитное поле напряжённостью H и индукцией B , которое создаётся вокруг проводника (рис. 1.1).

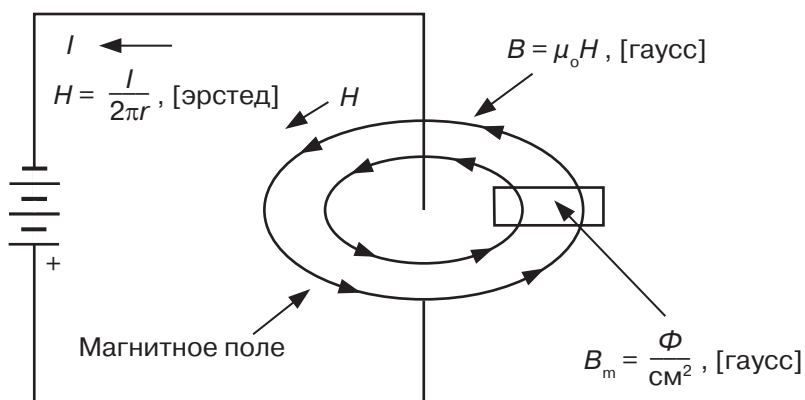


Рис. 1.1. Магнитное поле, созданное проводником с током

Направление вектора магнитного потока вокруг проводника может быть определено с помощью «правила правой руки»: если проводник зажать кистью правой руки так, чтобы большой палец показывал направление тока, то пальцы покажут направление силовых линий магнитного поля. Здесь имеется в виду техническое направление тока, а не потока электронов.

Когда ток в проводнике течёт в одном направлении, как показано на рис. 1.2а, стрелка компаса отклоняется в одну сторону. Если изменить направление тока, стрелка будет отклоняться в другую сторону (рис. 1.2б). Это доказывает, что магнитное поле полярно. Когда ток меняет направление, магнитодвижущая сила тоже меняет направление.

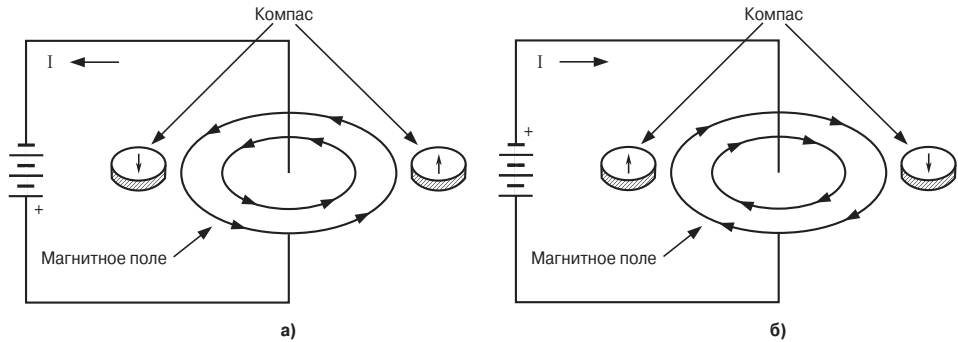


Рис. 1.2. Компас иллюстрирует изменение полярности магнитного поля

1.3. Усиление магнитного поля

Когда ток течёт по проводнику, магнитное поле возникает вокруг провода. Если два проводника проводят ток в одном направлении, но они расположены относительно далеко друг от друга, как показано на **рис. 1.3**, генерируемые ими магнитные поля не взаимодействуют.

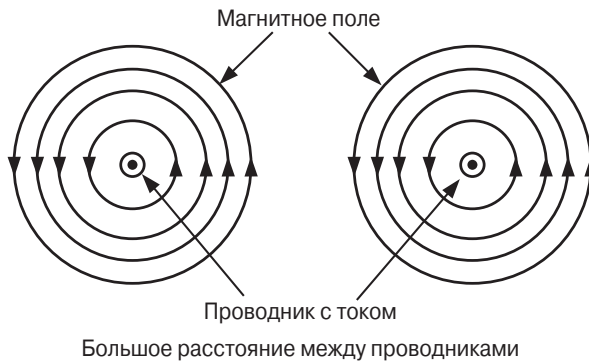


Рис. 1.3. Магнитные поля, возникающие вокруг свободных токоведущих проводников

Если же проводники расположены рядом, как показано на **рис. 1.4**, магнитные поля складываются и интенсивность поля удваивается.

$$\text{Плотность энергии } \gamma = \frac{B^2}{8\pi c}. \quad (1.1)$$

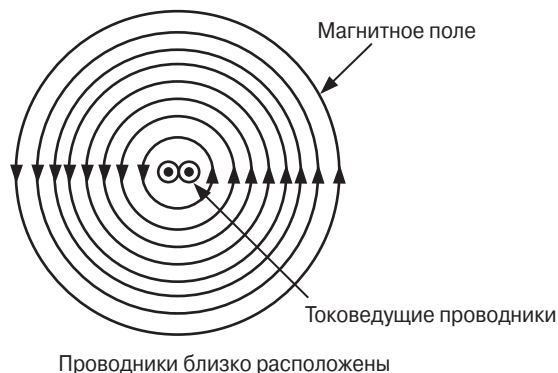


Рис. 1.4. Магнитные поля, возникающие вокруг близко расположенных проводников с током

Если провод намотан на каркас, то его магнитное поле значительно усиливается. Катушка фактически имеет такое же поле, как у стержневого магнита, как показано на **рис. 1.5**. Как и стержневой магнит, катушка имеет северный полюс и нейтральную центральную область. Более того, полярность может быть изменена при реверсировании тока катушки I . Это опять-таки демонстрирует зависимость магнитного поля от направления тока.

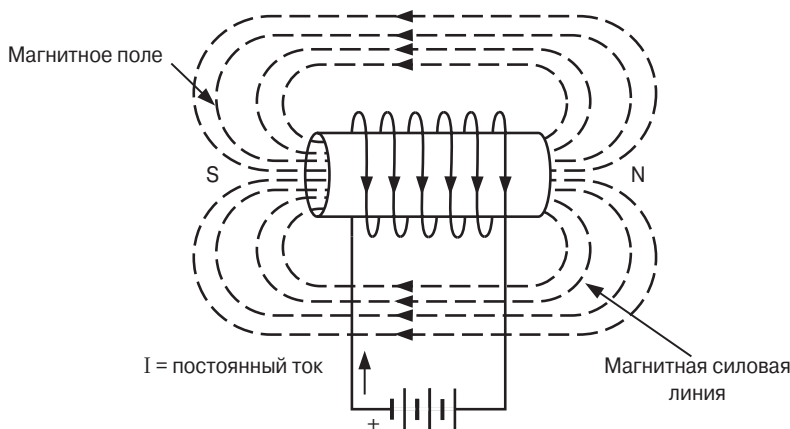


Рис. 1.5. Воздушная катушка с постоянным током обмотки

Магнитной цепью является пространство, в котором замыкается магнитный поток вокруг катушки. Величина потока определяется величиной тока I и числом витков катушки. Произведение $N \cdot I$, где N — число витков катушки, называется магнитодвижущей силой (МДС). Связь между плотностью потока B и напряжённостью магнитного поля H для воздушной катушки дана на **рис. 1.6**. Отношение B/H называется магнитной проницаемостью μ_0 . Для воздушной катушки $\mu = 1$ в системе СГС.

$$\mu_0 = 1. \quad (1.2.)$$

$$B = \mu_0 H \text{ [Гс/Э]}.$$

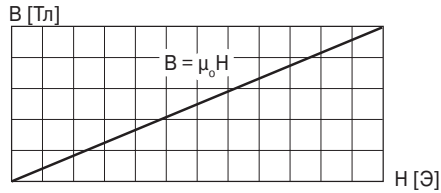


Рис. 1.6. Характеристика намагничивания катушки постоянным током

Если батарею, изображённую на **рис. 1.5**, заменить источником переменного напряжения, что проиллюстрировано на **рис. 1.7**, то зависимость $B(H)$ будет иметь вид, показанный на **рис. 1.8**. Линейность зависимости $B(H)$ – главное достоинство воздушной катушки. Ввиду линейности этой зависимости, рост H приводит к возрастанию B , и поэтому очень сильные магнитные поля могут быть получены при больших токах. Очевидно, что предельная величина тока определяется сечением провода обмотки.

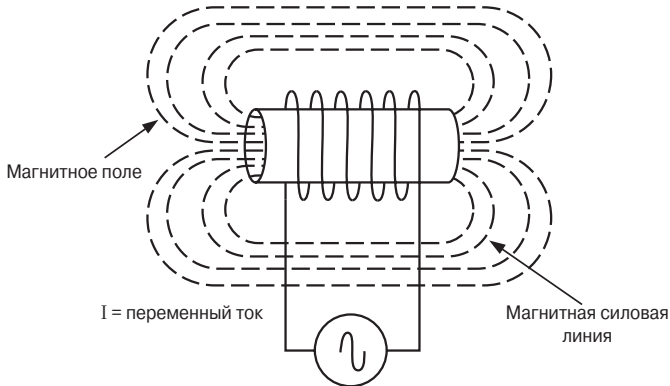


Рис. 1.7. Воздушная катушка с возбуждением от источника переменного напряжения

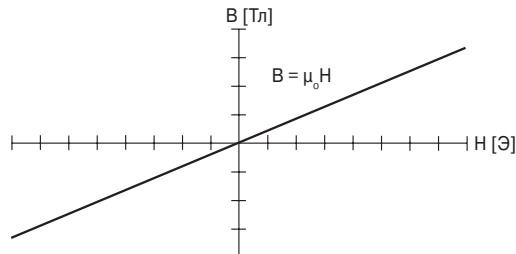


Рис. 1.8. Характеристика намагничивания катушки переменным током

Магнитное поле с индукцией порядка 0.1 Тл достижимо при перегреве 40 °С сверх комнатной температуры. При суперинтенсивном охлаждении можно получить поле с индукцией порядка 10 Тл.

1.4. Простейший трансформатор

Схема простейшего трансформатора представлена на **рис. 1.9**. Он состоит из двух воздушных катушек, охваченных общим магнитным потоком. Магнитный поток исходит из концов первичной катушки во все стороны. Обмотка первичной катушки соединена с источником переменного напряжения. Цепь обмотки вторичной катушки не замкнута. Отметим, что не все силовые линии магнитного поля являются общими для обеих катушек. Магнитный поток, не являющийся общим для обеих катушек, называется потоком рассеивания.

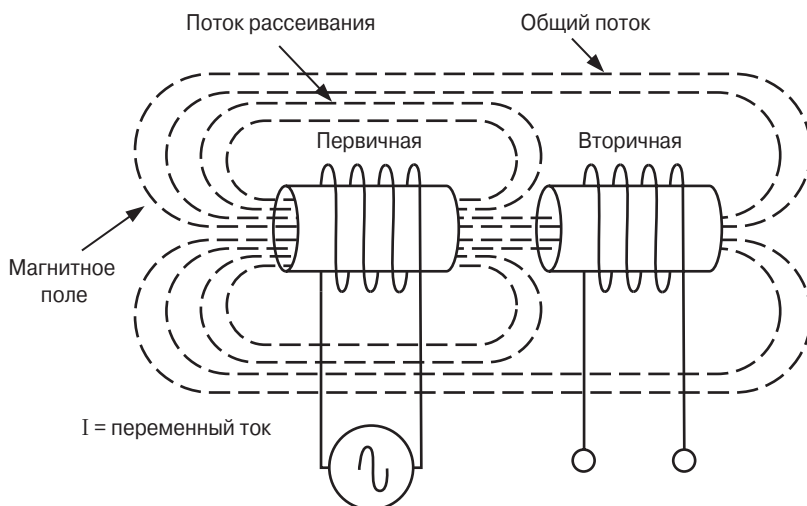


Рис. 1.9. Простейшая схема трансформатора

1.5. Магнитный сердечник

Большинство материалов — плохие проводники магнитного потока, потому что у них невысокая магнитная проницаемость. Вакуум имеет магнитную проницаемость равную 1.0, и другие немагнитные материалы, такие как воздух, бумага и медь, характеризуются проницаемостью такого же порядка. Магнитные материалы, такие как железо, никель, кобальт и их сплавы, могут иметь

магнитную проницаемость величиной до сотен тысяч. Для достижения более высоких показателей по сравнению с воздушной катушкой, показанной на **рис. 1.10**, следует ввести в катушку магнитный сердечник, как показано на **рис. 1.11**. В этом случае магнитные силовые линии распространяются по пути наименьшего сопротивления и концентрируются внутри сердечника. Существует предельная возможная величина магнитного потока, который может быть создан в данном сердечнике. Эта величина определяется насыщением сердечника. После насыщения сердечник теряет свои магнитные свойства, и катушка фактически превращается в воздушную (**рис. 1.12**).

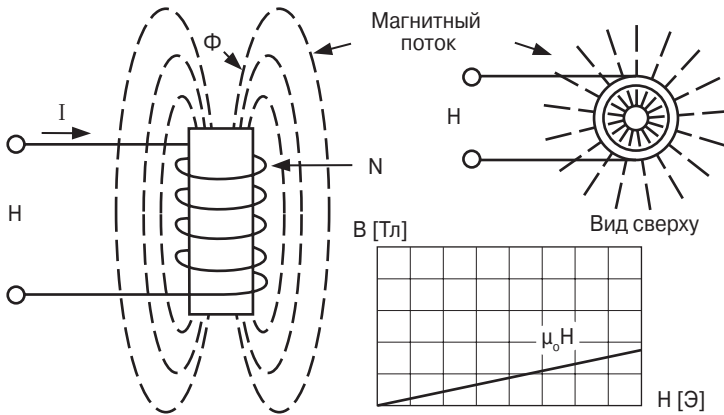


Рис. 1.10. Магнитное поле воздушной катушки

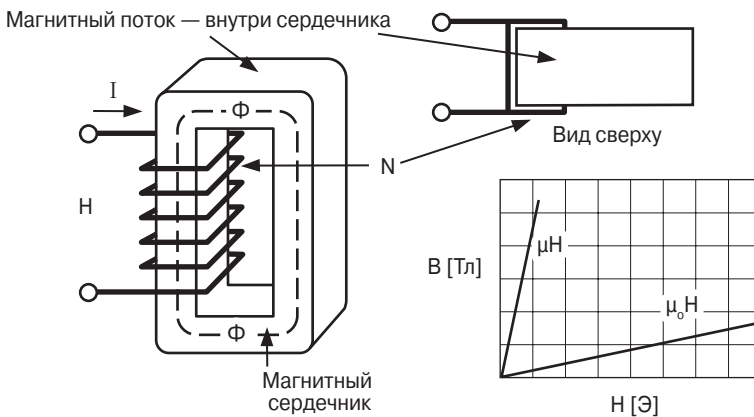


Рис. 1.11. Магнитное поле катушки с ферромагнитным сердечником

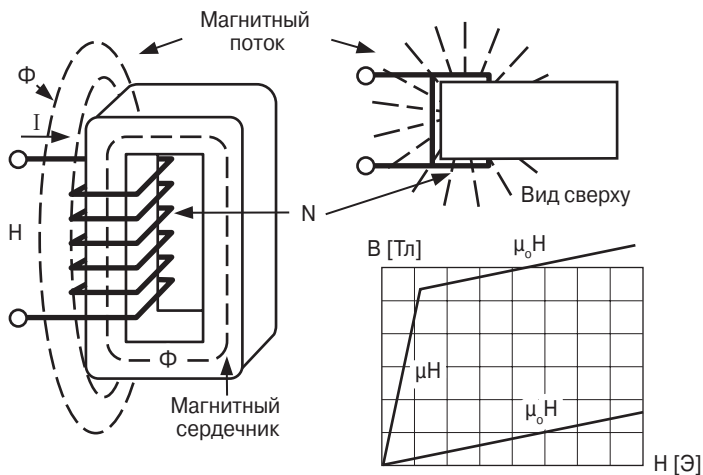


Рис. 1.12. Катушка с насыщенным сердечником

1.6. Фундаментальные характеристики магнитного сердечника

На рис. 1.13 представлена кривая первоначального намагничивания ферромагнитного материала. Заметно, что вначале плотность потока B растёт очень медленно до точки A , затем – очень быстро до точки B и затем перестаёт расти. Участок кривой после точки B называется «коленом» характеристики. В точке C наступает насыщение материала сердечника. В режиме насыщения справедливо соотношение (1.3).

$$\frac{\Delta B}{\Delta H} = 0. \quad (1.3)$$

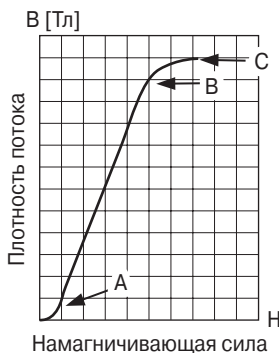


Рис. 1.13. Типичная кривая первоначального намагничивания ферромагнитного материала.

В режиме насыщения магнитная проницаемость сердечника равна магнитной проницаемости воздуха.

На рис. 1.14, 1.15 и 1.16 показано, как распространяется магнитный поток в сердечнике от его внутренних областей к внешним.

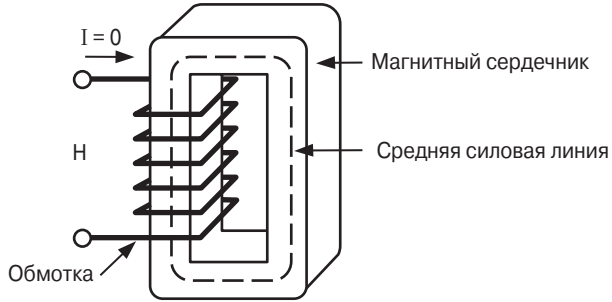


Рис. 1.14. Не возбуждённый магнитный сердечник

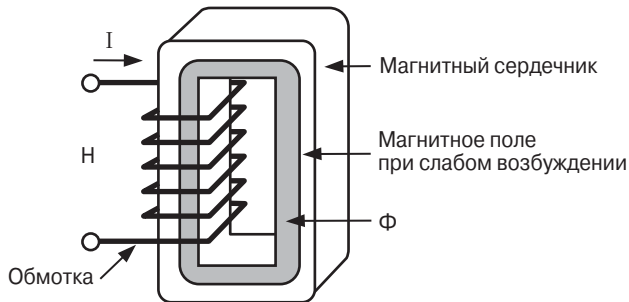


Рис. 1.15. Слабо возбуждённый магнитный сердечник

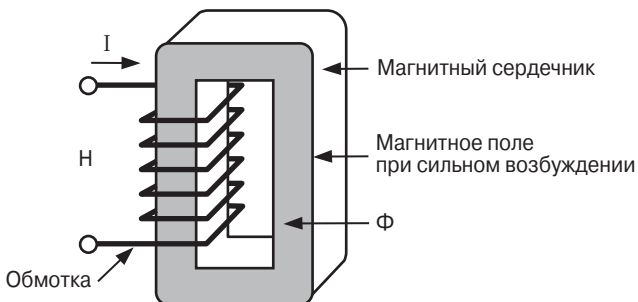


Рис. 1.16. Магнитный сердечник на грани насыщения